



VIGILANCIA SINÓPTICA DE SUDAMÉRICA



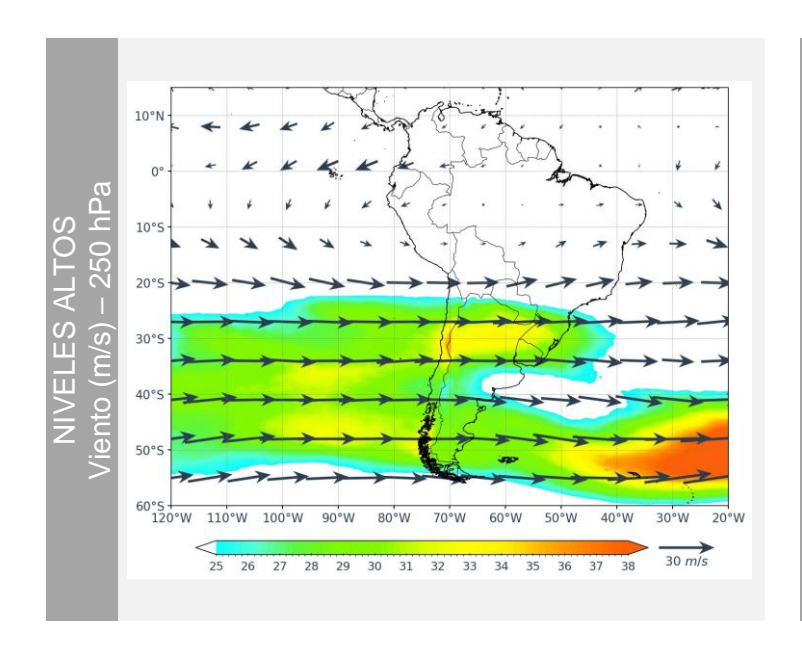
INFORME OCTUBRE 2025

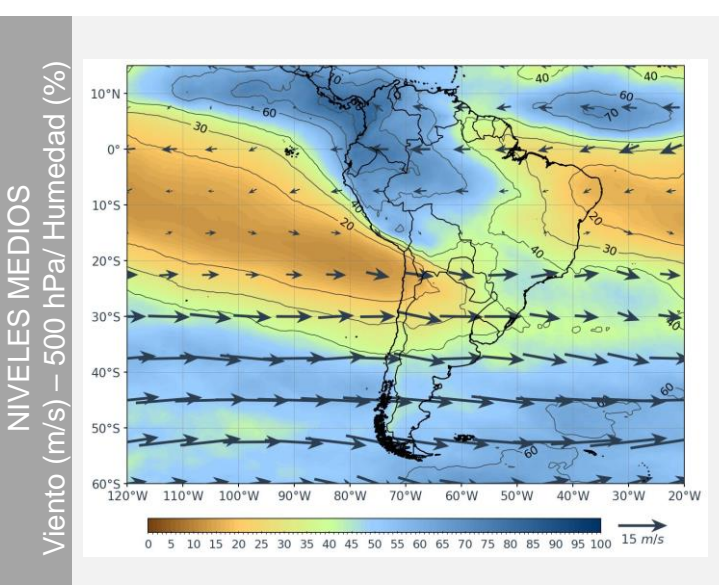


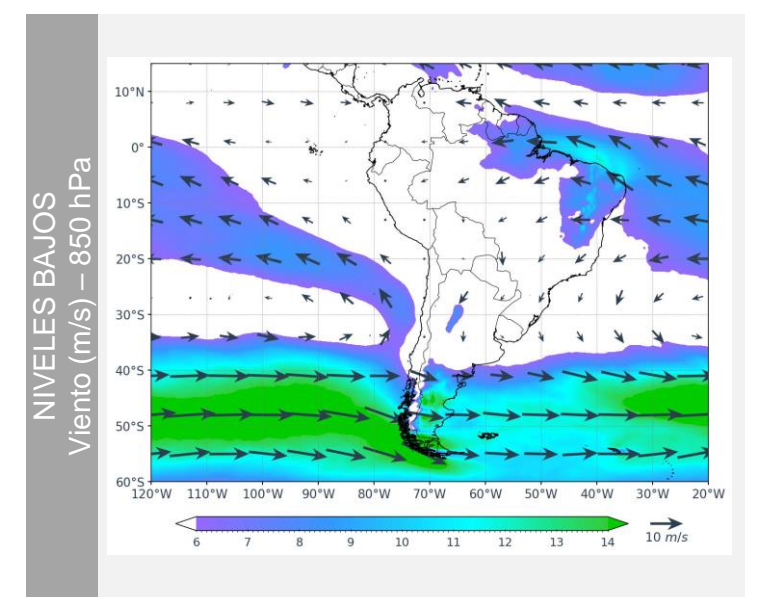
PRÓXIMO INFORME A ACTUALIZAR

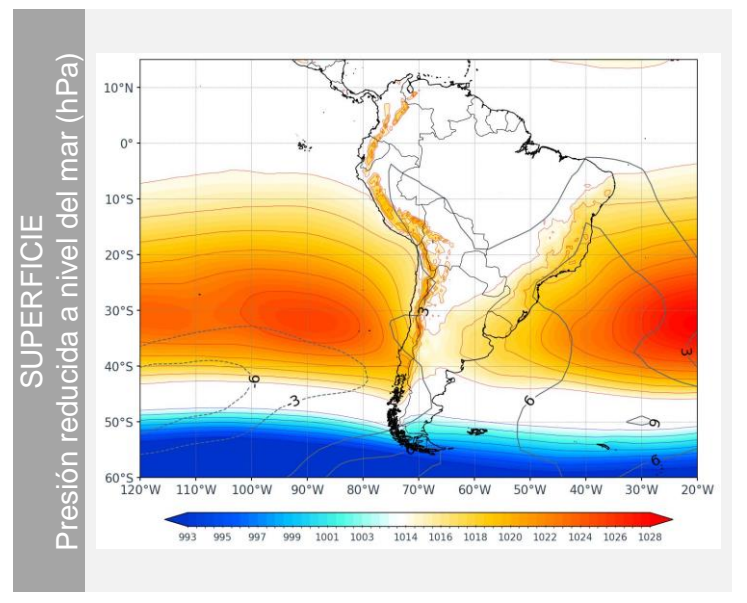
NOVIEMBRE 2025

ANÁLISIS MENSUAL









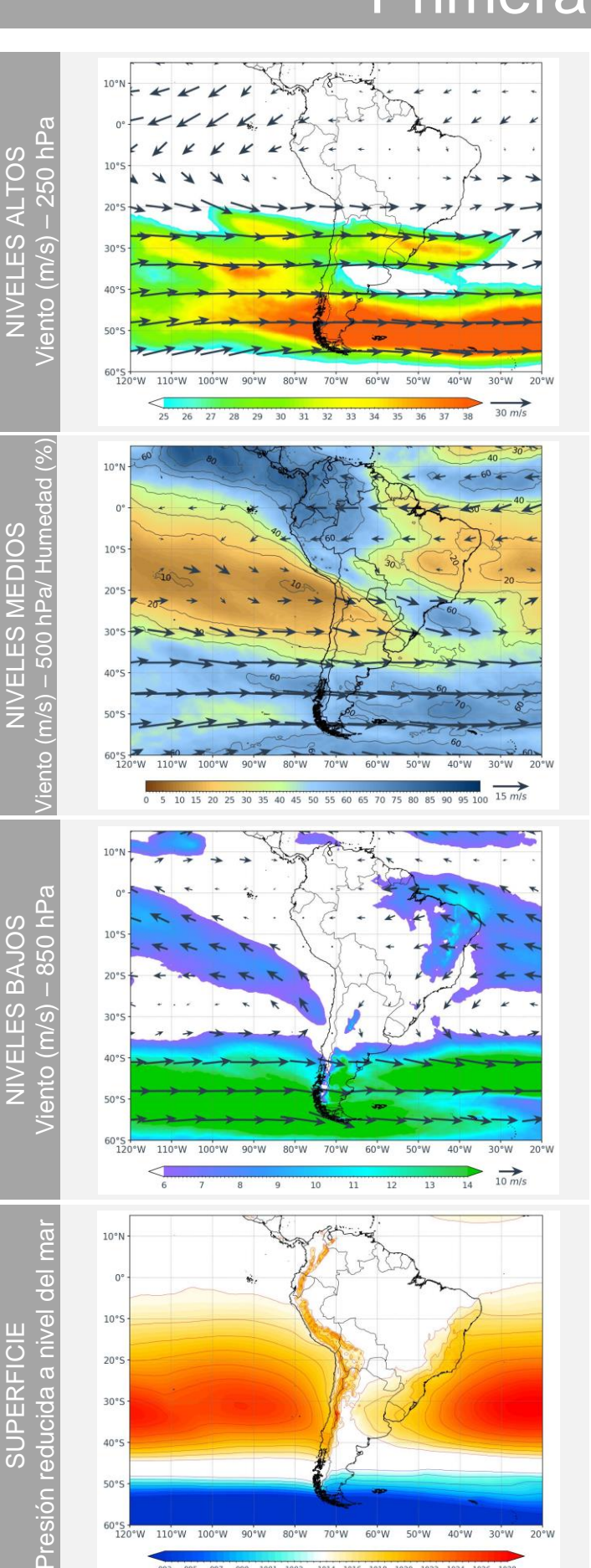
En niveles altos (250 hPa), se observó una circulación anticiclónica con una configuración más zonal. Asimismo se observó, al Jet Subtropical (JS) al sur de los 25°S, con velocidades que alcanzaron valores cercanos a 35 m/s, manteniendo una configuración zonal bien definida sobre el Pacífico Sur y extendiéndose hacia latitudes altas. Este flujo estuvo acoplado parcialmente con el ramal norte del Jet Polar (JP), lo que favoreció el transporte de perturbaciones de onda corta hacia el centro y sur del continente. Sobre la región tropical, se observó un patrón de vientos del este desde los 10°N hasta los 10°S, mientras que al sur de los 20°S dominaron los flujos del oeste, asociados a una circulación de gran escala.

En niveles medios (500 hPa), predominó una circulación zonal del oeste desde los 25°S hacia el sur, asociada al paso de ondas de escala sinóptica que dominaron gran parte del mes sobre latitudes altas. Se observaron vaguadas de onda corta extendiéndose sobre Chile y Argentina, que favorecieron el avance de frentes fríos y el transporte de aire más seco hacia el interior del continente. Entre estas perturbaciones se configuraron dorsales sobre el Pacífico suroriental y el Atlántico occidental, generando alternancia entre condiciones de subsidencia y ascenso. En el Atlántico se distinguieron dos núcleos anticiclónicos, uno tropical, al este de Brasil, que impulsó flujos húmedos del este hacia la Amazonía y promovió convección en la franja ecuatorial; y otro subtropical, más al sur.Este contraste en la circulación media moduló de forma significativa la distribución de humedad y estabilidad sobre Sudamérica durante el mes.

En niveles bajos (850 hPa), se observó una circulación de componente este a noreste sobre el norte de Sudamérica, favoreciendo el ingreso de humedad desde el Atlántico tropical hacia la Amazonía. Hacia el centro del continente, predominó un flujo más zonal con débil configuración del Jet de Bajos Niveles (JBN) sobre Bolivia y Paraguay, evidenciando una menor intensidad respecto a meses previos, con velocidades moderadas entre 8 y 10 m/s. Este patrón permitió el transporte de aire cálido y húmedo desde el Atlántico, aunque sin una marcada intensificación del flujo meridional. En superficie, el Anticiclón del Pacífico Sur (APS) se presento más intenso que su valor climático, con una configuración zonal y núcleo cercano a los 1026 hPa, mientras que el Anticiclón del Atlántico Sur (AAS) mostró una intensificación progresiva y desplazamiento hacia el suroeste, alcanzando valores de hasta 1029 hPa. Esta configuración, junto con el paso de altas migratorias (AM) desde el Pacífico hacia Sudamérica, favoreció el ingreso de aire frío hacia el interior del continente y la ocurrencia de tres eventos de friaje que afectaron la Amazonía peruana durante el mes.

ANÁLISIS

Primera decadiaria



En niveles altos se observó una circulación anticiclónica en el centro de Sudamérica. Desde los 15°S hacia el sur persistieron flujos del oeste con componente zonal dominante, modulados por una onda que generó una vaguada sobre el centro-sur de Chile y Argentina, reforzando condiciones más estables en dicha zona. Por otro lado, el Jet Subtropical (JS) se evidenció acoplado norte del let Polar ramal aproximadamente entre los 85°W y 65°W, con máximos cercanos a 38 m/s. Este patrón favoreció subsidencia y menor ventilación en altura sobre la franja central de Sudamérica.

En niveles medios, al norte de Sudamérica prevalecieron flujos de componente este que encajonaron la humedad (entre 60-70%) hacia y Colombia, Perú, Brasil, Ecuador principalmente; en tanto en el extremo sur del pais, norte y centro de Chile, norte de Argentina y sur de Bolivia se presentaron valores de humedad alrededor de 20%. Asimismo, predominaron patrones de circulación antihoraria, una alrededor de los 20°S sobre el océano Pacífico y otra al este de Brasil (sobre el Atlántico), asociados al ingreso de aire seco (por debajo de los 50% de humedad) También, prevaleció una onda con una vaguada ubicada sobre el sur de Chile y Argentina, que se reflejó desde niveles altos, favoreciendo inestabilidad en ese sector.

En superficie, el APS presentó una configuración zonal con núcleo en los 30°S y 100°W, con valores de presión alrededor de los 1026 hPa, mas intenso respecto a su valor climático y desplazado hacia el oeste. Asimismo, el AAS se mostró desplazado hacia el este y con valores de presión por encima de su promedio. En niveles bajos, predominaron flujos de componente este sobre el noreste de Sudamérica aportando humedad sobre el norte del continente. Entre los 20°S y 35°S, se observa una transición en la dirección del flujo, con vientos que comienzan a adquirir una componente más del norte/noroeste, especialmente sobre el centrooeste de Brasil, Bolivia, Paraguay y el norte de Argentina, asociado al JBN. Finalmente, a partir de los 40°S, los vientos son predominantemente del oeste, con mayor intensidad sobre el extremo sur de Chile y Argentina

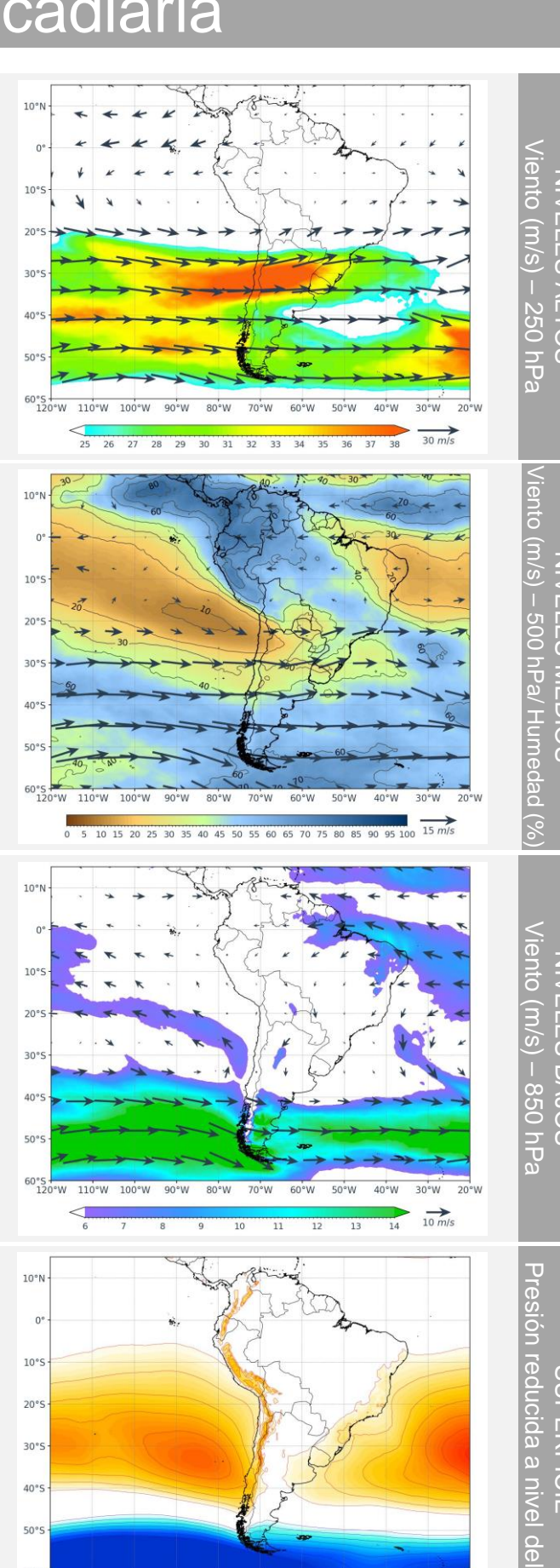
ANÁLISIS

Segunda decadiaria

niveles altos, predominó una circulación anticiclónica con configuración zonal con flujos intensos del oeste al sur de los 20°S, reflejando la presencia bien definida del Jet Subtropical (JS) y del Jet Polar (JP). Ambas corrientes se mantuvieron acopladas entre los 100°W y 40°W, alcanzando velocidades máximas cercanas especialmente sobre el centro-sur de Chile y Argentina. Se observó además la presencia de una dorsal débil sobre el norte de Sudamérica, asociada a condiciones de estabilidad atmosférica, mientras que una vaguada poco profunda al este del continente (sobre el Atlántico suroccidental) favoreció ligera inestabilidad en el sureste de Brasil y Uruguay.

En niveles medios, el patrón de circulación evidenció flujos del oeste a suroeste al sur de los 20°S, con una clara división entre masas de aire seco sobre el centro-sur del continente y aire más húmedo (valores entre 50-70% de humedad relativa) hacia el norte y noreste de Sudamérica. Predominaron centros anticiclónicos débiles sobre el Pacífico oriental (alrededor de 10°S) y sobre el (15°S), generando subsidencia condiciones estables en el centro de Brasil, Bolivia, Paraguay y norte de Argentina. Por otro lado, la persistencia de una vaguada en niveles medios sobre el Atlántico sur y el sureste brasileño promovió la ocurrencia de nubosidad y convección localizada en esa región.

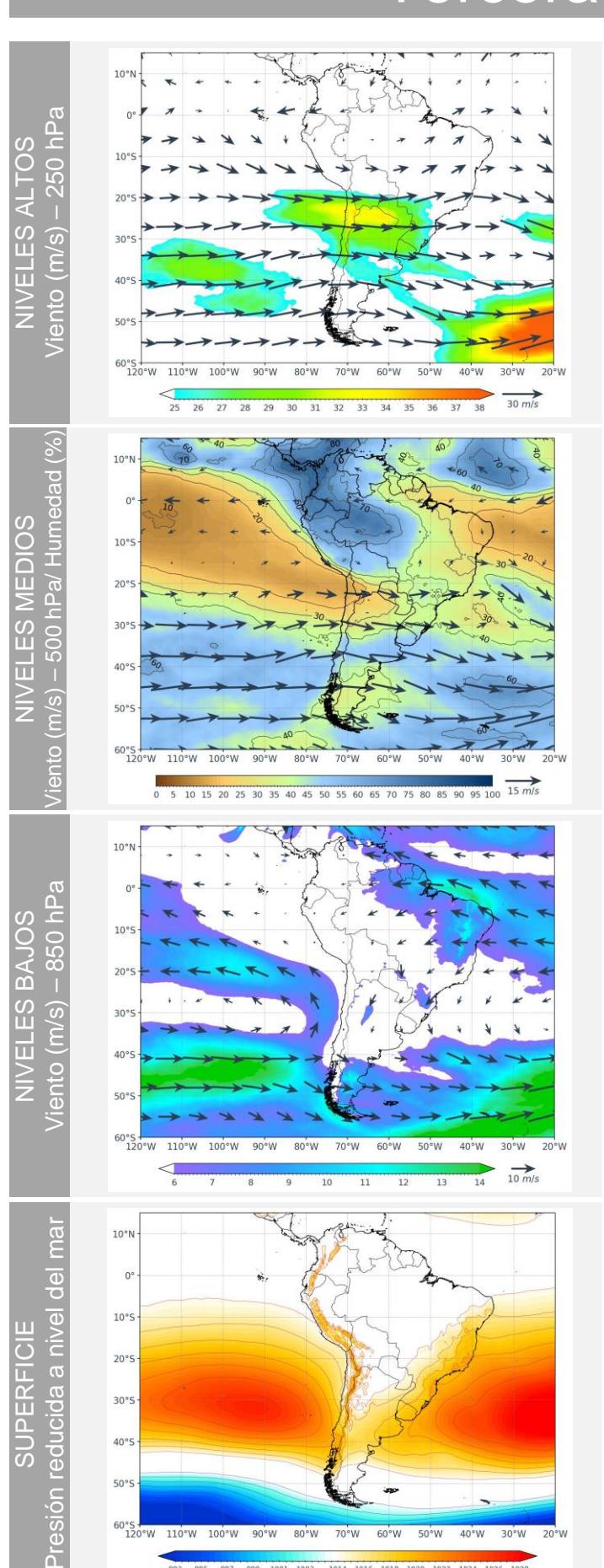
En superficie, se observó un Anticiclón del Pacífico Sur (APS) con una configuración zonal y núcleo entre los 30°S-90°W, con valores de presión estimados cercanos a 1020 hPa, levemente debilitado respecto a su climatología y desplazado hacia el noroeste. El Anticiclón del Atlántico Sur (AAS) se presentó al este de su posición climática y también con un incremento de intensidad. En consecuencia, prevalecieron flujos de componente este y sureste sobre el noreste del continente, aportando humedad hacia el norte de Brasil, la cuenca amazónica y regiones del Chaco. En el sur del continente, los flujos del oeste y suroeste predominaron con velocidades próximas a 10-12 m/s, vinculados al avance de sistemas frontales fríos. Además, se observó un aumento de la intensidad del viento en torno a Chile austral y la Patagonia, coherente con el paso frecuente de perturbaciones de latitudes medias.



mar

ANÁLISIS

Tercera decadiaria



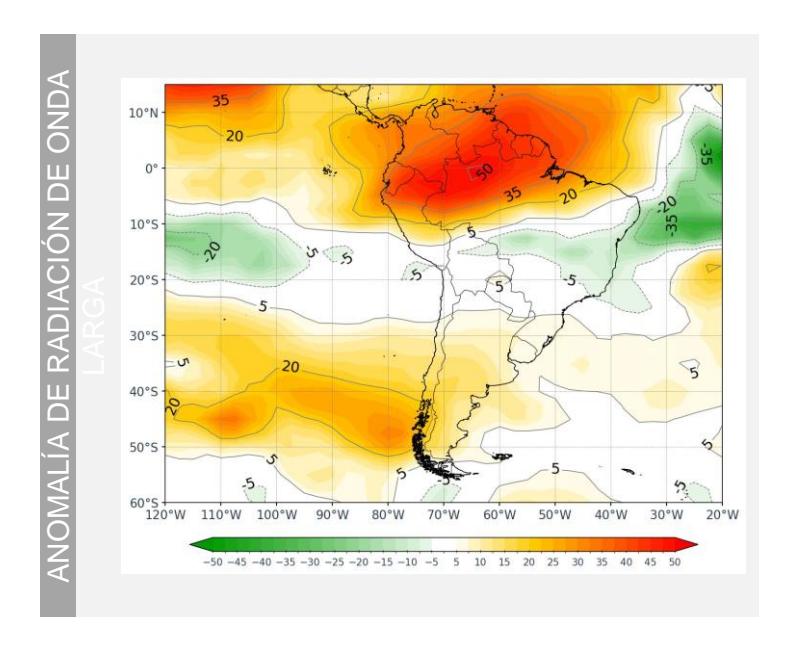
niveles altos, se observa una circulación anticiclónica sobre el noroeste de Sudamérica, en interacción con el VNB que presentó un eje con orientación noroeste-sureste (NO-SE), favoreciendo condiciones de inestabilidad atmosférica principalmente sobre el norte de Perú, Ecuador, Colombia y el centro de Brasil. Este patrón permitió un mayor transporte de humedad y divergencia en altura, propiciando el desarrollo de convección en dichas regiones. Desde los 20°S hacia el sur del continente, predominó el flujo del oeste con una componente zonal, asociado al JS con velocidades de 33 m/s promedio. Se destaca la presencia de una vaguada en niveles altos sobre el centro de Chile y Argentina, evidenciando la influencia de una onda de gran escala que favorece el ascenso dinámico.

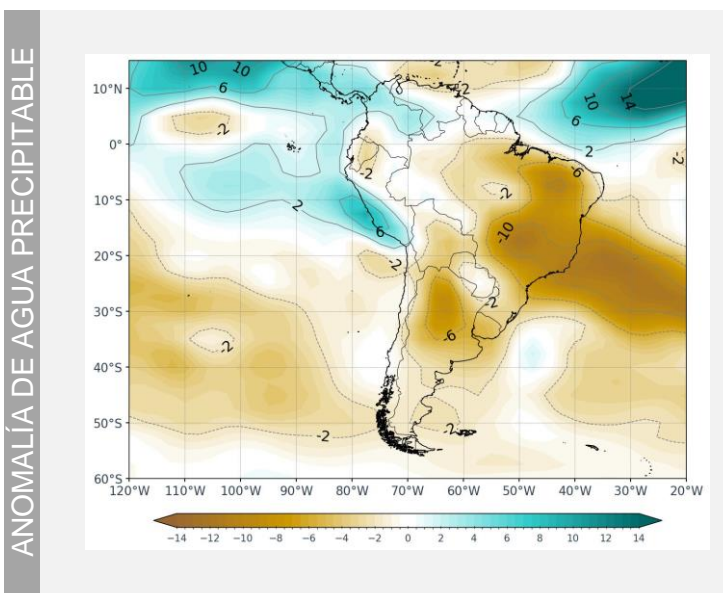
niveles medios, Sudamérica al norte de prevalecieron flujos del este transportando humedad (entre 60-80% de humedad) principalmente hacia Perú, Bolivia, Brasil, Colombia y Ecuador. En tanto, se observaron patrones de circulación anticiclónica, una sobre el Pacífico (alrededor de los 10°S) y otra al este de Brasil (que se extendió desde el Atlántico); también se presentaron flujos dominantes del oeste desde los 20°S hacia latitudes mayores, asociados a una onda reflejada desde niveles altos, con una vaguada sobre el centro de Chile y Argentina, que acentuó la inestabilidad sobre esos sectores; estos patrones favorecieron el ingreso de aire seco (menor al 50% de humedad) sobre el centro-norte de Chile y Argentina, Paraguay, Uruguay y sureste de Brasil.

En superficie, el APS presentó una configuración zonal y núcleo en los 31°S y 98°W con valores de presión alrededor de los 1024 hPa, ligeramente más intenso respecto al climático. Por otro lado, el AAS se mantuvo dentro de su posición climática y con una ligera intensidad superior a su promedio.

En niveles bajos, predominaron flujos de origen este sobre el noreste de Sudamérica, aportando humedad sobre el norte-centro del continente, así también, se presentó un incremento de la velocidad del viento sobre Argentina, alcanzando velocidades cercanas a 12m/s (reflejando la presencia del JBN) transportando condiciones de humedad e inestabilidad hacia esos sectores.

ANÁLISIS MENSUAL



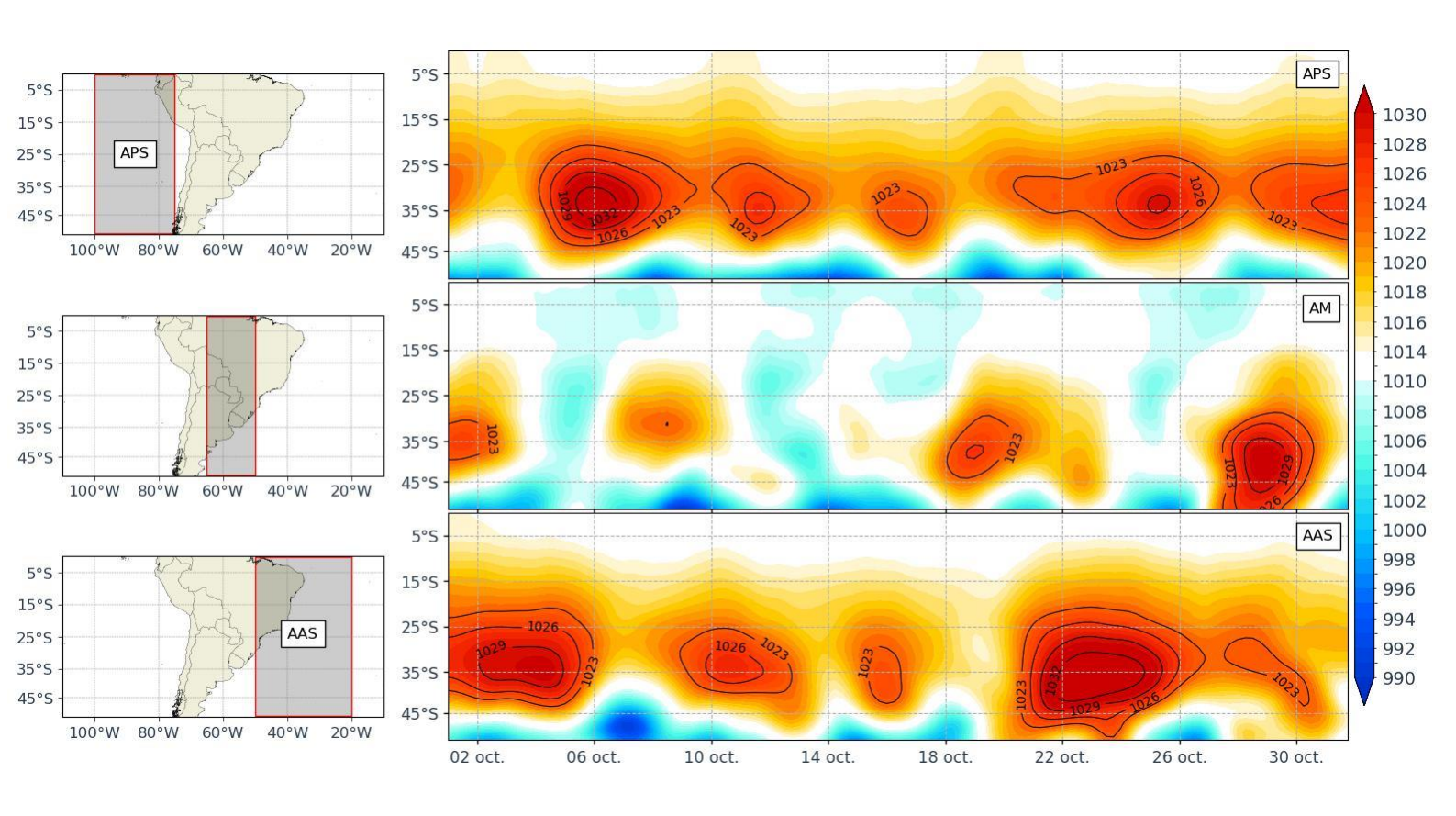


Respecto a las anomalías mensuales de radiación de onda larga, se apreciaron anomalías negativas de manera sectorizada sobre el centro de Sudamérica, involucrando principalmente al extremo sur de Perú, Bolivia, y parte centro y sur de Brasil, esto asociado a la presencia de mayor nubosidad en respuesta al mayor contenido de humedad respecto a lo climático. Por otro lado, se apreciaron anomalías positivas en la franja de 10°S y 10°N, en el Océano Pacifico del hemisferio norte y alrededor de los 25°S hacia mayores latitudes, afectando principalmente Perú, norte de Brasil, centro y sur de Chile, Argentina y Uruguay, relacionadas a la ausencia de nubosidad en la zona, además, estas anomalías positivas podrían ser el reflejo de una disminución en las precipitaciones respecto a lo climático.

Las anomalías mensuales de agua precipitable reflejaron anomalías positivas localizadas en el sector centro y sur de Perú y en el norte de Sudamérica, los cuales estuvieron asociados a un incremento de la misma respecto a su climatología, lo que pudo haberse reflejado con mayor nubosidad y probables precipitaciones. Por otro lado, las anomalías negativas predominaron en gran parte de Sudamérica, indicando la poca actividad convectiva y disminución de agua precipitable respecto a su climatología (relacionado a zonas con más sequedad de lo usual).

ANÁLISIS TEMPORAL

Presión reducida al nivel del mar



Durante el mes de octubre, el APS presentó valores superiores a 1023 hPa de manera persistente a lo largo del mes, con una intensificación notoria, alcanzando valores cercanos a 1032 hPa (5-24 de octubre).

En cuanto a las Altas Migratorias (AM), se observó un fortalecimiento hacia mediados y fines de mes, con núcleos que superaron los 1023 hPa (19 - 30 de octubre) coincidiendo con los episodios de friaje más destacados (vigésimo cuarto y vigésimo quinto friaje.

Por otro lado, el AAS mostró una intensificación marcada en la primera y tercera decadiaria, alcanzando valores de 1029 hPa (2 – 6 de octubre) y de hasta 1032 hPa (22 – 28 de octubre), evidenciando su desplazamiento hacia el continente.

Director de Meteorología y Evaluación Ambiental Atmosférica

Julio Ernesto Urbiola del Carpio jurbiola@senamhi.gob.pe

Subdirector de Predicción Meteorológica

Piero Rivas Quispe privas@senamhi.gob.pe

Elaboración y redacción:

Janet Huaman Vargas jhuamanv@senamhi.gob.pe

												•	٠.	•		•	٠.				•	٠.	•				•	•	٠.				•		
Dara	m	21/6	¬r i	nf	٥rı	ma	oi	ćη	۸h	rc	٠ I،	<u> </u>		٠.,	i،	_	 n	\t.	<u> </u>	ro	ıہ	ai	~	20	٠,	/ic	·i+	_	^	c+/	٠ I	in	l/		

Para mayor información sobre los avisos meteorológicos, visite este link : http://www.senamhi.gob.pe/avisos

Próxima publicación: DICIEMBRE 2025



Servicio Nacional de Meteorología e Hidrología del Perú - SENAMHI

Jr. Cahuide 785, Jesús María Lima - Perú



Central telefónica: 614-1414

Unidad Funcional de Atención al

Ciudadano:

470-2867

Pronóstico: 614-1407 o 265-8798 (Atención las 24 horas vía WhastApp)

Consultas y sugerencias:

pronosticador@senamhi.gob.pe